

エルニーニョ監視速報 (No. 405)

2026 年 5 月の実況と 2026 年 6 月～2026 年 12 月の見通し

- 2026 年春からエルニーニョ現象が発生しているとみられる。
- 今後、秋にかけてエルニーニョ現象が続く見込み (100%)。

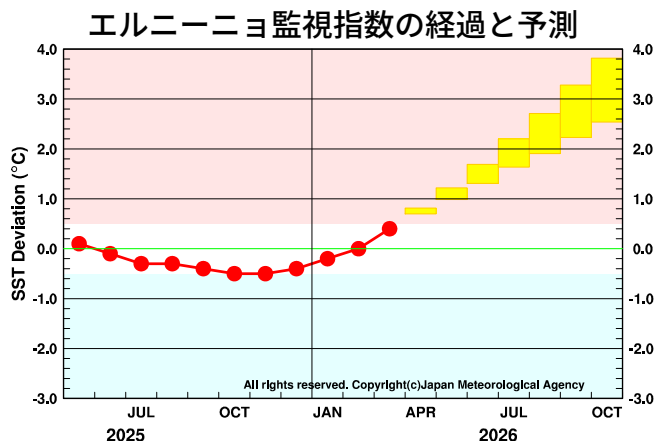


図 1 エルニーニョ監視海域の監視指数（海面水温の基準値との差）の 5 か月移動平均値の経過と予測

エルニーニョ監視海域の監視指数（海面水温の基準値との差）の 5 か月移動平均値について、3 月までの経過（観測値）を折れ線グラフで、大気海洋結合モデルによる予測結果（70%の確率で入ると予想される範囲）をボックスで示している。監視指数の 5 か月移動平均値が赤（+0.5°C 以上）／青（-0.5°C 以下）の範囲に入っている状態で 6 か月以上持続した場合に、エルニーニョ／ラニーニャ現象の発生としている。エルニーニョ監視海域の海面水温の基準値はその年の前年までの 30 年間の各月の平均値。

エルニーニョ監視指数の確率予測

（予測期間:2026 年 4 月～2026 年 10 月）

| 年 | 月 | 平均期間 | 各月の確率 |
|--------|------|--------------------------|-------|
| 2026 年 | 4 月 | 2026 年 2 月 ～ 2026 年 6 月 | 100 |
| | 5 月 | 2026 年 3 月 ～ 2026 年 7 月 | 100 |
| | 6 月 | 2026 年 4 月 ～ 2026 年 8 月 | 100 |
| | 7 月 | 2026 年 5 月 ～ 2026 年 9 月 | 100 |
| | 8 月 | 2026 年 6 月 ～ 2026 年 10 月 | 100 |
| | 9 月 | 2026 年 7 月 ～ 2026 年 11 月 | 100 |
| | 10 月 | 2026 年 8 月 ～ 2026 年 12 月 | 100 |

■高い ■平常 ■低い

図 2 各月のエルニーニョ監視海域の監視指数（海面水温の基準値との差）の 5 か月移動平均値が各カテゴリー（高い／平常／低い）に入る確率 (%)

エルニーニョ監視海域の監視指数（海面水温の基準値との差）の 5 か月移動平均値が高い（+0.5°C 以上）／平常（-0.4°C ～ +0.4°C）／低い（-0.5°C 以下）の範囲に入る確率を、それぞれ赤／黄／青の横棒の長さで月ごとに示す。気象庁の定義では、監視指数の 5 か月移動平均値が高（低）い状態で 6 か月以上持続した場合にエルニーニョ（ラニーニャ）現象の発生としているが、エルニーニョ監視速報においては速報性の観点から、実況と予測を合わせた監視指数の 5 か月移動平均値が高（低）い状態で 6 か月以上持続すると見込まれる場合に「エルニーニョ（ラニーニャ）現象が発生」と表現している。

【解説】

エルニーニョ／ラニーニャ現象

- **5月の実況:**2026年春からエルニーニョ現象が発生しているとみられる。5月のエルニーニョ監視海域の海面水温の基準値からの差は $+1.2^{\circ}\text{C}$ で、基準値より高い値となった(図3、表)。エルニーニョ／ラニーニャ現象発生判断に使用している5か月移動平均値の3月の値は $+0.4^{\circ}\text{C}$ で、基準値に近い値だったが、上昇傾向が続いている。太平洋赤道域の海面水温は、中部と東部を中心に全域で平年より高かった(図4、図6)。太平洋赤道域の海洋表層の水温は、中部と東部を中心に全域で平年より高かった(図5、図7)。対流活動は、太平洋赤道域の日付変更線付近ではほぼ平年並だったが、中部太平洋赤道域の大気下層の東風(貿易風)は平年より弱まった(図8、図9、図10)。このような大気と海洋の状態は、海洋はエルニーニョ現象時の特徴がすでに現れ、大気にもその特徴が現れ始めていることを示している。このことから、2026年春からエルニーニョ現象が発生しているとみられる。
- **今後の見通し:**今後、秋にかけてエルニーニョ現象が続く見込み(100%)。実況では、太平洋赤道域の海洋表層で見られる暖水が東進している。大気海洋結合モデルは、この暖水の東進が太平洋赤道域の中部から東部の海面水温を平年より高い状態で維持するように働くとともに、その後も大気と海洋の相互作用により強化された海洋表層の暖水の東進が継続することに伴い、エルニーニョ監視海域の海面水温が秋にかけて上昇し、基準値より高い値で推移すると予測している(図11)。以上のことから、今後、秋にかけてエルニーニョ現象が続く見込み(100%)。

西太平洋熱帯域及びインド洋熱帯域の状況

- **西太平洋熱帯域:**5月の西太平洋熱帯域の海面水温は、基準値に近い値だった(図3)。今後、秋にかけて基準値より低い値で推移すると予測される(図12)。
- **インド洋熱帯域:**5月のインド洋熱帯域の海面水温は、基準値より低い値だった(図3)。今後、夏は基準値より低い値か基準値に近い値で推移し、秋は基準値に近い値か基準値より高い値で推移すると予測される(図13)。

5月の日本と世界の天候への影響

- **日本:**エルニーニョ現象時の特徴は明瞭に見られなかった。今後の日本の天候については、最新の季節予報を参照されたい。
- **世界:**中米～中部太平洋熱帯域の高温傾向が、エルニーニョ現象時の特徴に一致していた。

主文におけるエルニーニョ／ラニーニャ現象の発生確率と見通しの表現

* 主文におけるエルニーニョ／ラニーニャ現象の発生確率は、図2の各月の確率を基に、エルニーニョ監視海域の監視指数の5か月移動平均値が $+0.5^{\circ}\text{C}$ 以上/ -0.5°C 以下の状態が6か月以上持続する可能性を総合的に評価したもの。主文における表現は、この発生確率を基に季節単位で下表の表現を用いて記述するが、状況により異なる表現を用いることもある。

| | 発生確率 | | | 主文における表現(発生確率は例) |
|-----------------|----------|-------|---------|-----------------------------------|
| | エルニーニョ現象 | 平常 | ラニーニャ現象 | |
| エルニーニョ現象の発生(持続) | 50%以上 | 30%以下 | | エルニーニョ現象が発生する(続く)可能性が高い(50%)。 |
| | 60% | 40% | 0% | 平常の状態が続く(になる)可能性もある(40%)が、 |
| | 50% | 40% | 10% | エルニーニョ現象が発生する(続く)可能性の方がより高い(60%)。 |
| | 50% | 50% | 0% | エルニーニョ現象が発生する(続く)可能性と |
| | 40% | 40% | 20% | 平常の状態が続く(になる)可能性が同程度である(50%)。 |
| | 40% | 50% | 10% | エルニーニョ現象が発生する(続く)可能性もある(40%)が、 |
| ラニーニャ現象の発生(持続) | | 30%以下 | 50%以上 | ラニーニャ現象が発生する(続く)可能性が高い(50%)。 |
| | 0% | 40% | 60% | 平常の状態が続く(になる)可能性もある(40%)が、 |
| | 10% | 40% | 50% | ラニーニャ現象が発生する(続く)可能性の方がより高い(60%)。 |
| | 0% | 50% | 50% | ラニーニャ現象が発生する(続く)可能性と |
| | 20% | 40% | 40% | 平常の状態が続く(になる)可能性が同程度である(50%)。 |
| | 10% | 50% | 40% | ラニーニャ現象が発生する(続く)可能性もある(40%)が、 |
| 平常の状態への移行(持続) | | 60% | 40% | 平常の状態が続く(になる)可能性の方がより高い(60%)。 |
| | 30%以下 | 50%以上 | 30%以下 | 平常の状態になる(が続く)可能性が高い(50%)。 |

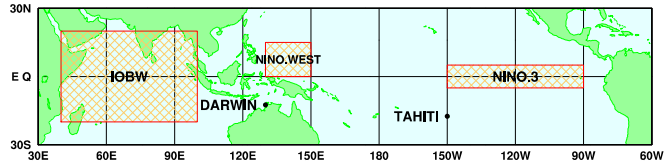
【監視・予測資料】

2026年5月における赤道域の海洋と大気の状態

1. エルニーニョ監視指数（図3、表）

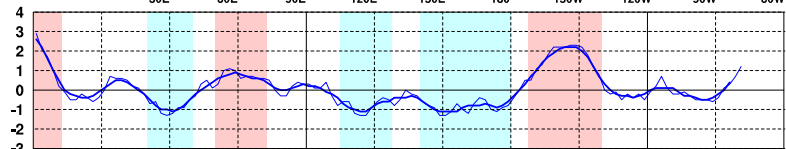
エルニーニョ監視海域の海面水温の基準値との差は $+1.2^{\circ}\text{C}$

エルニーニョ現象等監視海域
 NINO.3: エルニーニョ監視海域
 NINO.WEST: 西太平洋熱帯域
 IOBW: インド洋熱帯域



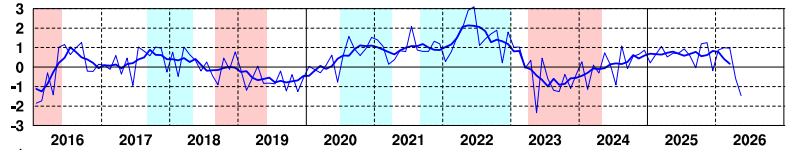
(a) エルニーニョ監視海域の海面水温の基準値*との差 ($^{\circ}\text{C}$)

NINO.3



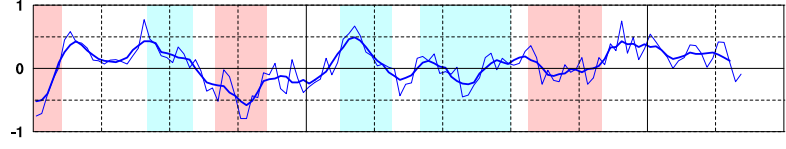
(b) 南方振動指数**

TAHITI - DARWIN



(c) 西太平洋熱帯域の海面水温の基準値*との差 ($^{\circ}\text{C}$)

NINO.WEST



(d) インド洋熱帯域の海面水温の基準値*との差 ($^{\circ}\text{C}$)

IOBW

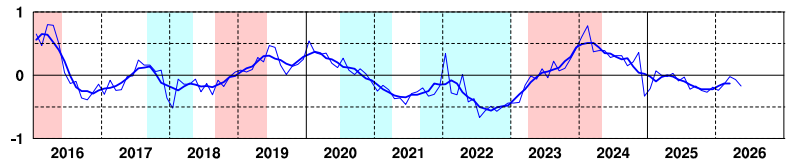


図3 各監視指数の最近10年間の経過

折線は月平均値、滑らかな太線は5か月移動平均値を示す。赤色の陰影はエルニーニョ現象の発生期間を、青色の陰影はラニーニャ現象の発生期間を示している。

* 基準値は、その年の前年までの30年間の各月の平均値（(c) 西太平洋熱帯域、(d) インド洋熱帯域では、30年間の変化傾向による上昇分を加えている）。

** 南方振動指数はタヒチとダーウィン（TAHITIとDARWIN; 上図に位置を示した）の地上気圧の差を指数化したもので、貿易風の強さの目安の1つであり、正（負）の値は貿易風が強い（弱い）ことを表している。指数の算出に用いた気圧の平年値は1991～2020年の30年平均値。

表 エルニーニョ監視海域の海面水温と南方振動指数の最近1年間の値

5か月移動平均値の下線部は $+0.5^{\circ}\text{C}$ 以上となった月を、斜字体は -0.5°C 以下となった月を示す。

海面水温と南方振動指数の最新月は速報値である。

| | 2025年 | | | | | | | 2026年 | | | | |
|--------------------------------|-------|------|------|------|-------------|-------------|------|-------|------|------|------|------|
| | 6月 | 7月 | 8月 | 9月 | 10月 | 11月 | 12月 | 1月 | 2月 | 3月 | 4月 | 5月 |
| 月平均海面水温 ($^{\circ}\text{C}$) | 26.4 | 25.8 | 24.9 | 24.4 | 24.5 | 24.5 | 24.5 | 25.2 | 26.5 | 27.5 | 28.3 | 28.4 |
| 基準値との差 ($^{\circ}\text{C}$) | -0.2 | -0.1 | -0.3 | -0.5 | -0.5 | -0.5 | -0.6 | -0.4 | +0.1 | +0.3 | +0.7 | +1.2 |
| 5か月移動平均 ($^{\circ}\text{C}$) | -0.1 | -0.3 | -0.3 | -0.4 | <u>-0.5</u> | <u>-0.5</u> | -0.4 | -0.2 | 0.0 | +0.4 | | |
| 南方振動指数 | +0.7 | +0.9 | +0.6 | 0.0 | +1.2 | +1.3 | -0.2 | +0.9 | +1.0 | +1.0 | -0.6 | -1.5 |

2. 海洋 (図4~図7)

太平洋赤道域の海面水温は、中部と東部を中心に全域で平年より高い

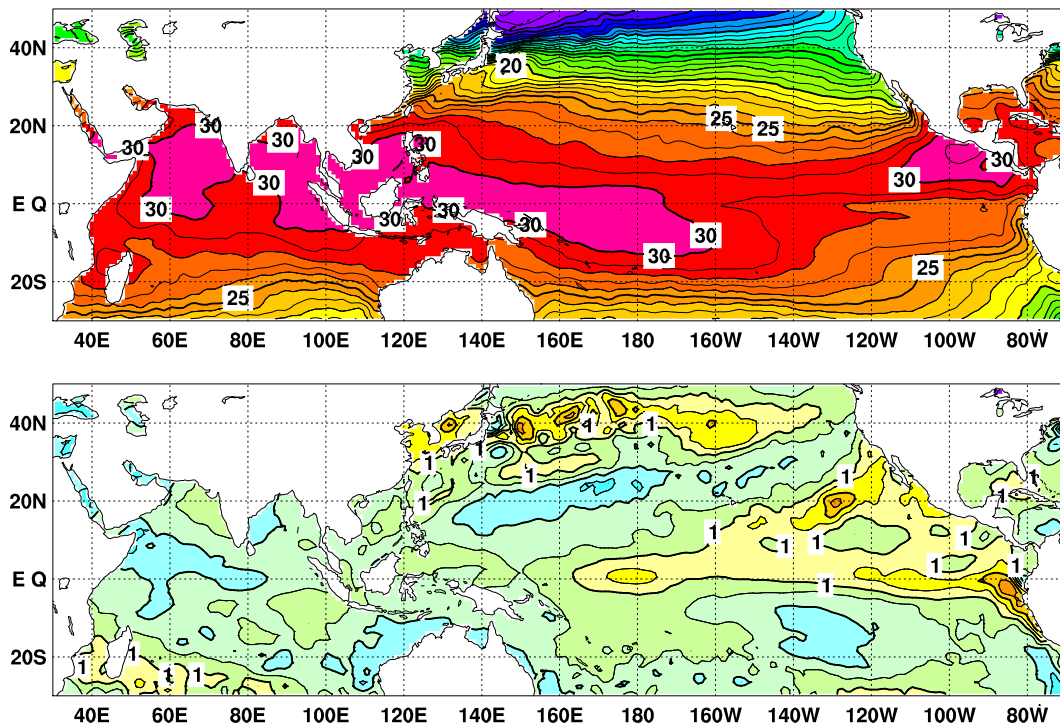


図4 2026年5月の海面水温図(上)及び平年偏差図(下)

海面水温図の太線は5°C毎、細線は1°C毎の、平年偏差図の太線は1°C毎、細線は0.5°C毎の等値線を示す(平年値は1991~2020年の30年平均値)。

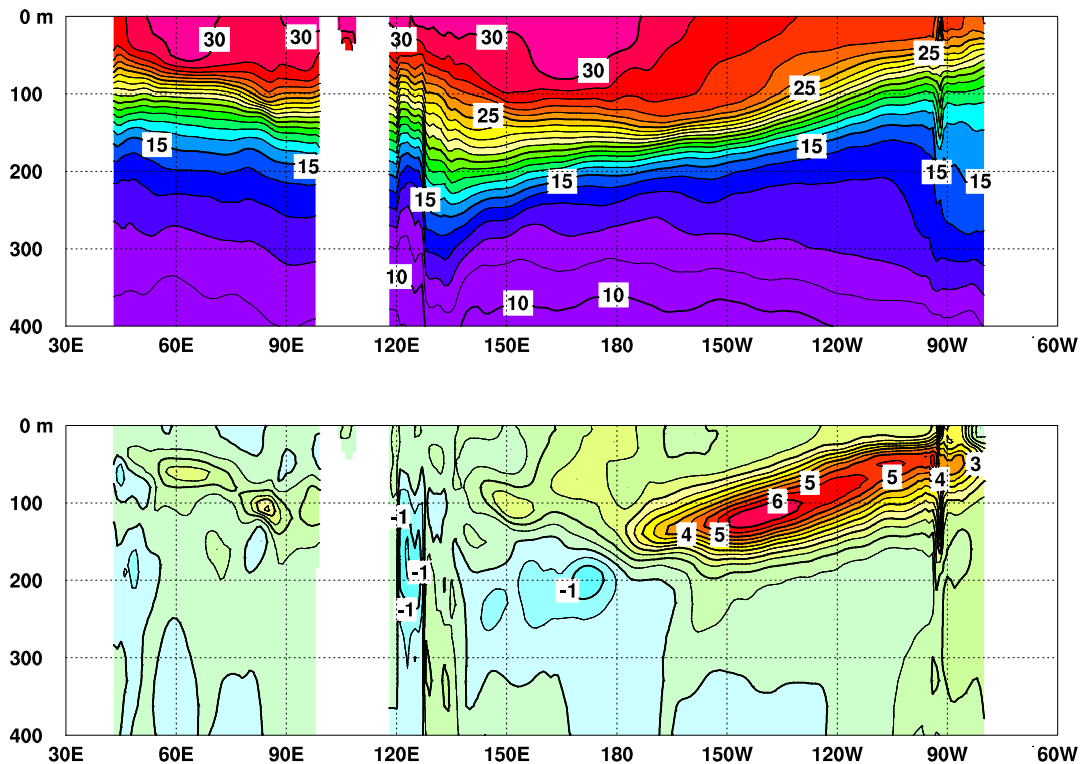


図5 2026年5月のインド洋から太平洋の赤道に沿った水温(上)及び平年偏差(下)の断面図

上図は太線が5°C毎、細線が1°C毎の等値線を示し、下図は太線が1°C、細線が0.5°C毎の等値線を示す(平年値は1991~2020年の30年平均値)。図中白く抜けている部分は陸地である。

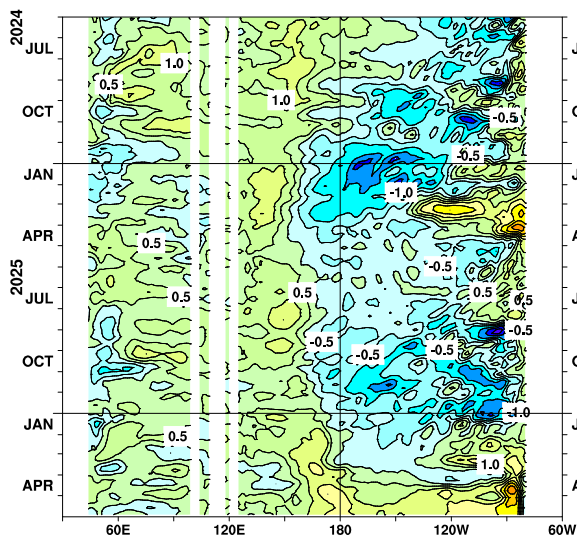


図6 インド洋から太平洋の赤道に沿った海面水温年偏差の経度-時間断面図

太線は1°C毎、細線は0.5°C毎の等値線を示す（平年値は1991～2020年の30年平均値）。図中白く抜けている部分は陸地である。

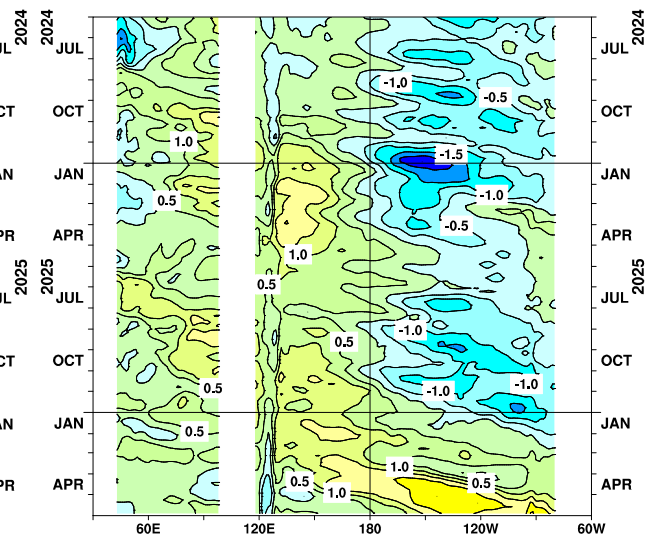


図7 インド洋から太平洋の赤道に沿った海面から深度300mまでの平均水温年偏差の経度-時間断面図

太線は1°C毎、細線は0.5°C毎の等値線を示す（平年値は1991～2020年の30年平均値）。図中白く抜けている部分は陸地である。

3. 大気 (図8～図10)

太平洋赤道域の日付変更線付近の対流活動はほぼ平年並で、中部太平洋赤道域の大気下層の東風(貿易風)は弱い

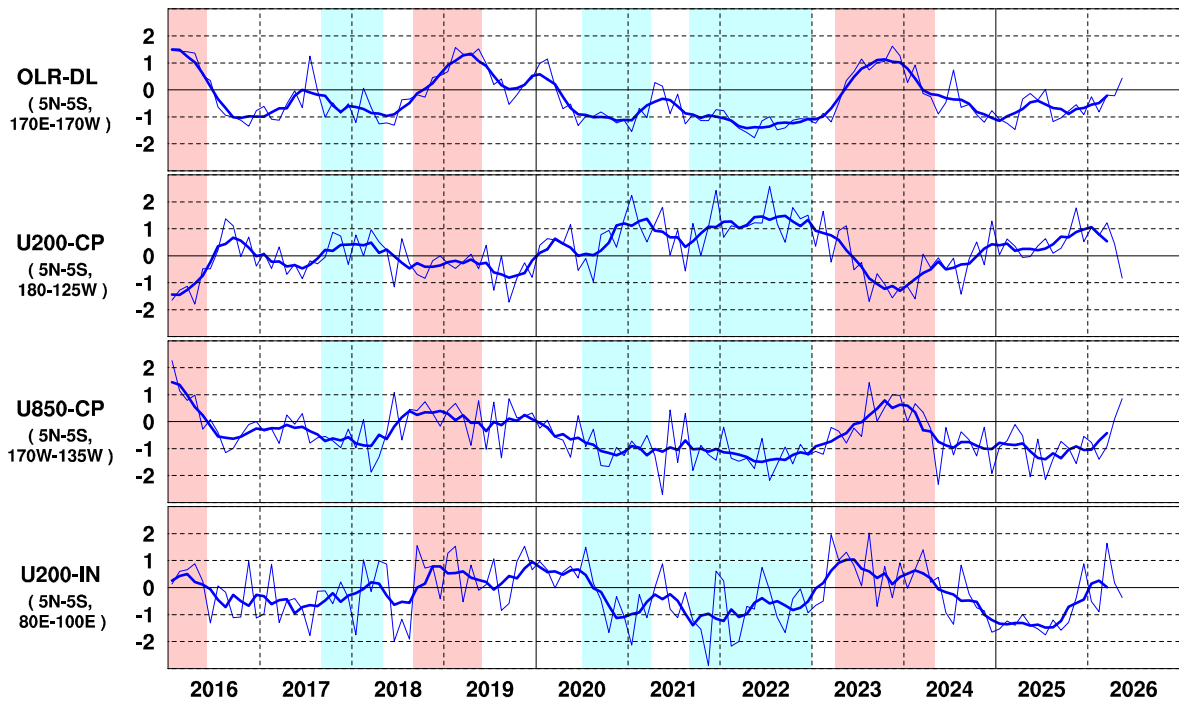


図8 日付変更線付近の OLR 指数 (OLR-DL)、対流圏上層 (200hPa) の赤道東西風指数 (U200-CP)、対流圏下層 (850hPa) の赤道東西風指数 (U850-CP)、インド洋における対流圏上層 (200hPa) の赤道東西風指数 (U200-IN) の時系列 (上から順に)

折線は月平均値、滑らかな太線は5か月移動平均値を示す（平年値は1991～2020年の30年平均値）。赤色の陰影はエルニーニョ現象の発生期間を、青色の陰影はラニーニャ現象の発生期間を示している。OLR データは米国海洋大気庁 (NOAA) から提供されたものである。令和5年10月11日発表のエルニーニョ監視速報 (No.373) より新しいデータに切り替えた。

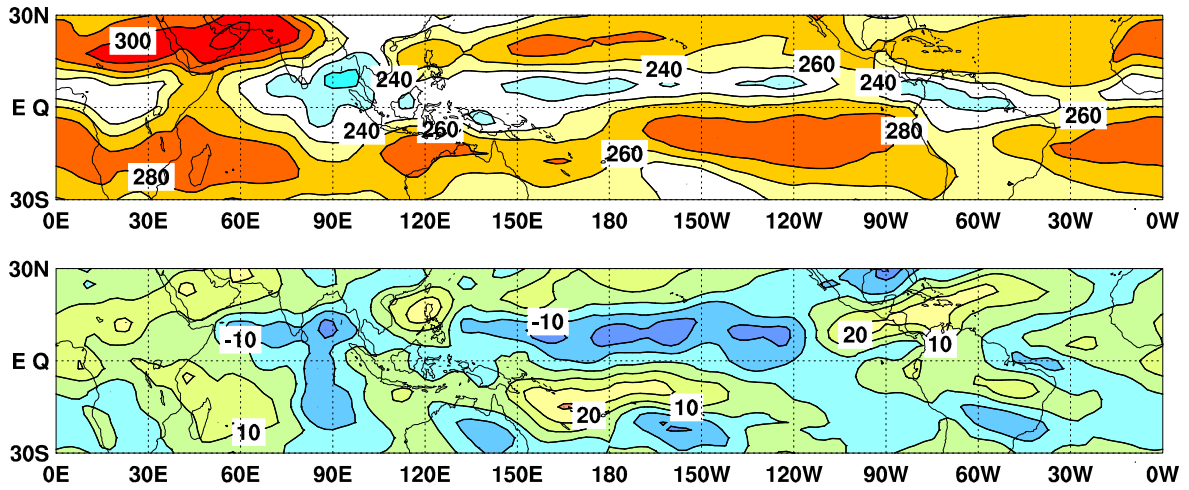


図9 外向き長波放射量 (OLR) (上) 及び年偏差 (下) の分布図 (2026年5月)

OLRの値が小さいほど、対流活動が活発であることを示しており、上図では 220W/m^2 以下の領域に青の陰影を施している。下図では OLR が年偏差より小さく、対流活動が活発な領域に青の陰影を、OLR が年偏差より大きく、対流活動が不活発な領域に緑～黄～赤の陰影を施している (年偏差は 1991～2020 年の 30 年平均値)。上図は 20W/m^2 毎、下図は 10W/m^2 毎に等値線を描いている。OLR データは米国海洋大気庁 (NOAA) から提供されたものである。令和 5 年 10 月 11 日発表のエルニーニョ監視速報 (No.373) より新しいデータに切り替えた。

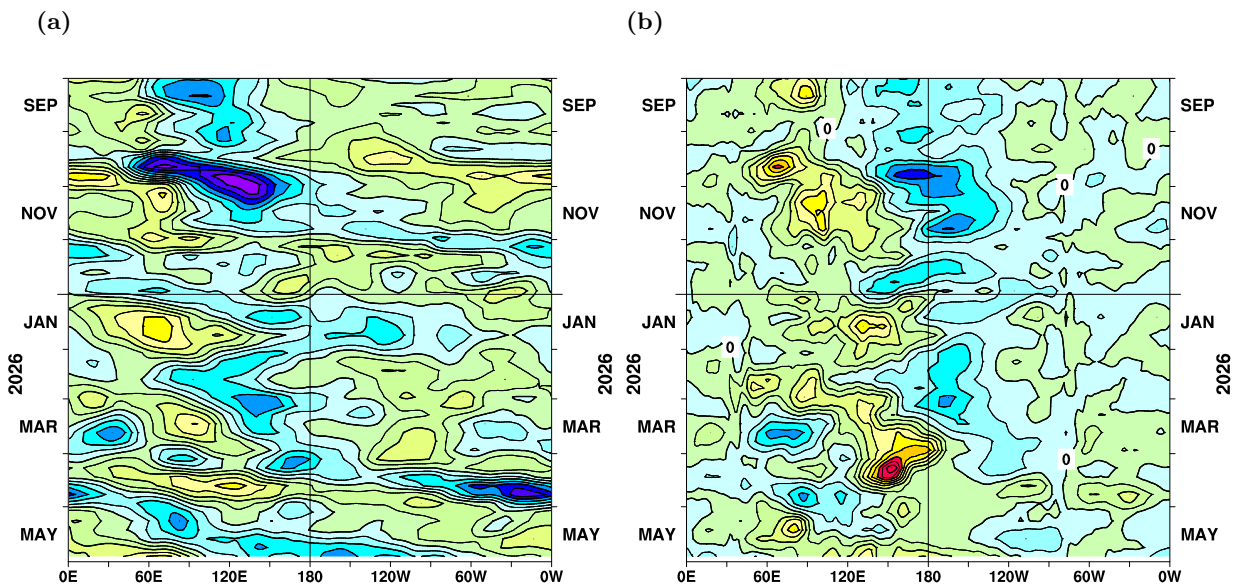


図10 赤道付近における対流圏上層 (200hPa) の速度ポテンシャルの年偏差 (a) 及び対流圏下層 (850hPa) の東西風速の年偏差 (b) の経度-時間断面図

(a) 等値線の間隔は $2 \times 10^6 \text{m}^2/\text{s}$ で、年よりも発散が強く、対流活動が活発な領域に青の陰影を、年よりも発散が弱く、対流活動が不活発な領域に緑～黄～赤の陰影を施している。(b) 等値線の間隔は 1.5m/s で、西風偏差の領域には緑～黄～赤の陰影を、東風偏差の領域には青の陰影を施している (両者の年偏差は 1991～2020 年の 30 年平均値)。

2026年6月～2026年12月の海面水温予測 (大気海洋結合モデルによる)

エルニーニョ監視海域の海面水温は、秋にかけて上昇し、基準値より高い値で推移すると予測

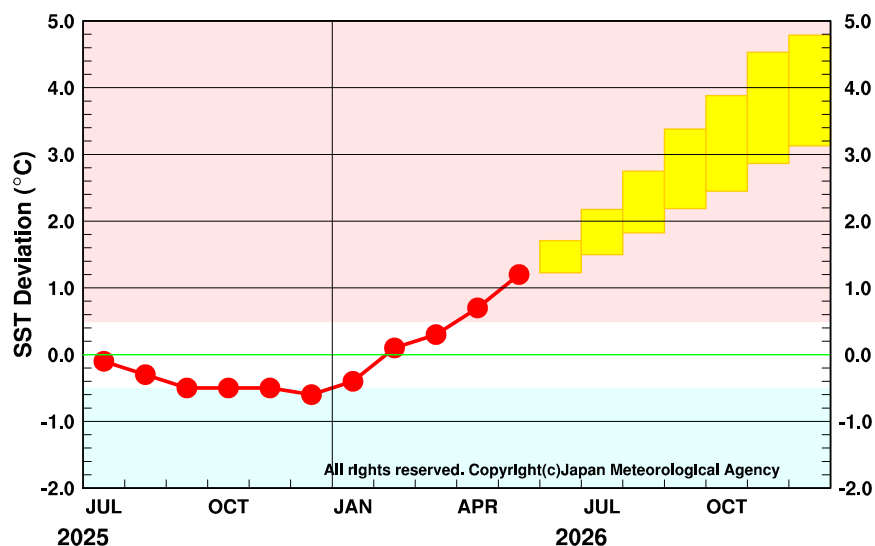


図 11 エルニーニョ監視海域の月平均海面水温の基準値との差の先月までの経過（折れ線グラフ）と大気海洋結合モデルから得られた今後の予測（ボックス）

各月のボックスは、海面水温の基準値との差が70%の確率で入る範囲を示す。

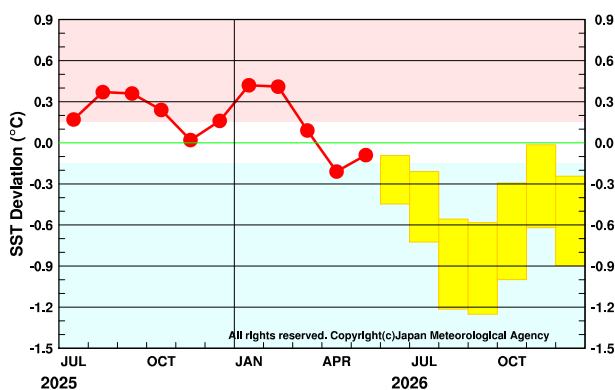


図 12 西太平洋熱帯域の月平均海面水温の基準値との差の先月までの経過（折れ線グラフ）と大気海洋結合モデルから得られた今後の予測（ボックス）

各月のボックスは、海面水温の基準値との差が70%の確率で入る範囲を示す。

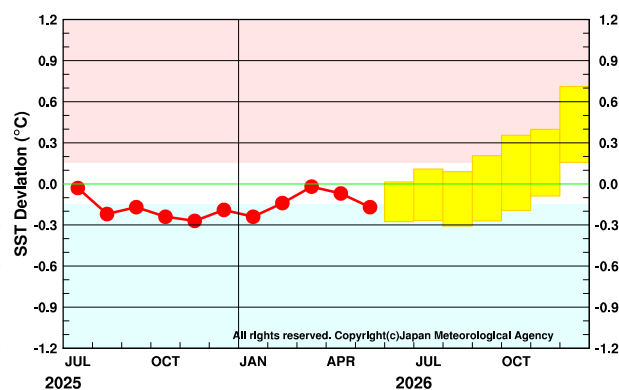


図 13 インド洋熱帯域の月平均海面水温の基準値との差の先月までの経過（折れ線グラフ）と大気海洋結合モデルから得られた今後の予測（ボックス）

各月のボックスは、海面水温の基準値との差が70%の確率で入る範囲を示す。

エルニーニョ現象などの情報は気象庁ホームページでもご覧いただけます。

(<https://www.data.jma.go.jp/cpd/elnino/>)

来月の発表は、7月10日14時の予定です。
内容に関する問合せ先：気候情報課
(電話 03-6758-3900 内線 4546)